引用本文:程友斌,王政,褚朝森,等.绵马贯众及其伪品的红外指纹图谱鉴别[J].安徽医药,2022,26(9):1739-1743.DOI:10.3969/j.issn.1009-6469.2022.09.010.

◇药物分析◇



## 绵马贯众及其伪品的红外指纹图谱鉴别

程友斌,王政,褚朝森,孙静 作者单位:江苏联合职业技术学院连云港中医药分院,江苏 连云港222007

摘要: 目的 建立绵马贯众的红外指纹图谱和化学模式识别模型,为绵马贯众的质量评价和控制方法提供新的参考。方法 自2019年10月至2020年11月期间,应用红外光谱技术结合二阶导数、相似度计算、聚类分析和主成分分析方法对红外谱图进行分析。结果 绵马贯众9批样品相似度在0.96以上,在红外谱图1554~1494 cm<sup>-1</sup>波段可将正伪品进行区分,聚类分析中在欧式距离平方和为5时绵马贯众与所有伪品清晰归为5类,结果与二阶导数和主成分分析相一致。结论 利用建立的绵马贯众及其伪品红外光谱图与化学模式识别模型,可快速评定不同产地绵马贯众的一致性和真伪性,适用于对绵马贯众质量的评价。

关键词: 鳞毛蕨科; 主成分分析; 绵马贯众; 红外光谱; 鉴别; 聚类分析

# Identification of infrared fingerprints of *Rhizoma Dryopteris Crassirhizomae* and its counterfeit products

CHENG Youbin, WANG Zheng, CHU Chaosen, SUN Jing

Author Affiliation:Lianyungang Chinese Medicine Branch of Jiangsu United Vocational and Technical College, Lianyungang, Jiangsu 222007, China

**Abstract: Objective** An infrared fingerprint and chemical pattern recognition model of *Rhizoma Dryopteris Crassirhizomae* was established to provide a new reference for quality evaluation and control methods. **Methods** From October 2019 to November 2020, the infrared spectra were analyzed using infrared spectroscopy techniques combined with second derivative, similarity calculation, cluster analysis and principal component analysis. **Results** The similarity of the 9 batches of samples of *Rhizoma Dryopteris Crassirhizomae* is above 0.96 and the genuine and fake products can be distinguished in the infrared spectrum of 1 554 cm<sup>-1</sup> to 1 494 cm<sup>-1</sup>. In the cluster analysis, when the sum of squares of the Euclidean distance is 5, all the fakes of *Rhizoma Dryopteris Crassirhizomae* are clearly classified into 5 categories, and the results are consistent with the second derivative and principal component analysis. **Conclusion** Using the established infrared spectra and chemical pattern recognition model of *Rhizoma Dryopteris Crassirhizomae* and its fake products, the consistency and authenticity of *Rhizoma Dryopteris Crassirhizomae* in different origins can be quickly assessed, which is suitable for evaluating the quality of *Rhizoma Dryopteris Crassirhizomae*.

**Key words:** Dryopteridaceae; Principal component analysis; *Rhizoma Dryopteris Crassirhizomae*; Infrared spectroscopy; Identification; Cluster analysis

绵马贯众为鳞毛蕨科植物粗茎鳞毛蕨带叶柄残基的干燥根茎,始载于《神农本草经》,列为下品,其味苦,性微寒,有小毒,具有清热解毒和驱虫等功效<sup>11</sup>,主产于黑龙江、吉林等地,临床用于治疗疫毒感冒,虫积腹痛等疾患,现代药理研究表明其有抗病毒、抗肿瘤和抗菌等作用,在国家《新型冠状病毒肺炎诊疗方案》中有推荐使用。近几版《中国药典》均将绵马贯众予以单列,然而因绵马贯众药源植物历史构成较为混乱,曾用作贯众的原植物有11科18属58种之多<sup>[2]</sup>,经过长期考证和市场规范,目前市场上仍有约5种以上植物的根茎被混充作绵马贯众使用,他们在外观形态特征上与绵马贯众十分相

似,非鉴别经验丰富者不能准确感官鉴定,常规理化鉴别如紫外可见光谱法(UV)、聚合酶链式反应(PCR)、高效液相色谱法(HPLC)等质量控制方法[34]均存在样品处理程序复杂、耗时费力、难以完全满足生产一线对其快速鉴别的需要,而红外光谱法可从整体上把握中药体系成分,具有取样量小、快速、准确,以及专属性和特征性强等特点[59],可较好填补绵马贯众的这一实际需求,目前国内关于绵马贯众的研究[10-11]中尚未见到应用红外光谱法鉴别绵马贯众正伪药材的报道,亦鲜见使用红外光谱对5种伪品药材整体进行鉴定的报道。本实验于2019年10月至2020年11月以9个产地绵马贯众与5种伪

品为研究对象,建立绵马贯众的红外指纹图谱,并 结合二阶导数、相似度评价,聚类分析和主成分分 析(PCA),为绵马贯众的鉴别和质量评价提供参考。

#### 1 材料与方法

- 1.1 药材 药材购于吉林敦化、和龙、蛟河、龙井、 汪清、通化、延吉,黑龙江牡丹江和尚志,以及安徽 亳州、河北安国、广西玉林等地,经湖北中医药大学 药学院生药鉴定教研室潘宏林教授鉴定为绵马贯 众、峨嵋蕨贯众、鳞毛蕨贯众、单芽狗脊蕨贯众、狗 脊蕨贯众和苏铁蕨贯众。凭证标本存于江苏省连 云港中医药高等职业技术学校中医药博物馆,基源 鉴定结果见表1。
- 1.2 仪器与试剂 傅里叶变换红外光谱仪(日本 SHIMADZU公司,型号IRPrestige-21),DLATGS检测 器、XS105DU十万分之一电子分析天平(METTLER TOLEDO公司),HY-12粉末压片机(天津天光光学 仪器有限公司),电热恒温鼓风干燥箱(DHG-9240A 上海精宏实验设备有限公司),玛瑙研钵(阜新县伟 成玛瑙厂);溴化钾(光谱纯,天津市福晨化学试 剂厂)。

#### 1.3 方法

1.3.1 供试品的制备 取9份不同产地绵马贯众样 品,以及峨眉蕨贯众、鳞毛蕨贯众、单芽狗脊蕨贯 众、狗脊蕨贯众和苏铁蕨贯众等5种伪品各一份于 60 ℃干燥 4 h,粉碎后过 200 目筛,得到饮片粉末备 用。取样品粉末2 mg至玛瑙研钵中,加入120 ℃干 燥后溴化钾粉末作为分散剂,样品与溴化钾混合比 例为1:200,研磨均匀,取适量研磨后的粉末平铺于 红外压片磨具中,以25 MPa压力压制60 s,取出,对 光检视,以样片均匀,半透明为合格,作为供 试品[12]。

1.3.2 红外光谱分析条件 将制备好的供试品压 片置于红外光谱仪中测定,测定波数段为4000~ 400 cm<sup>-1</sup>,扫描信号累加 20次,分辨率为 4 cm<sup>-1</sup>,室内 温度与湿度分别控制在24℃和25%~35%,扫描室 实时扣除水和二氧化碳的干扰。扫描完成后,使用 OMNIC8.2扣除背景,并进行基线校正和自动平滑处 理,计算各样品的二阶导数红外光谱平滑点数为 17点。

#### 1.3.3 方法学考察

- 1.3.3.1 精密度实验 从14份供试品中随机取一 份按"1.3.1"项下制备方法压片,测定,连续扫描6 次,以所得红外光谱数据相似度为评价指标,评价 仪器的精密度。结果6次所测光谱相似度均在0.99 以上,显示红外光谱仪精密度状态良好。
- 1.3.3.2 重现性实验 从14份供试品中随机取一 份按"1.3.1"项下制备方法,平行压片6份,分别测 定,以所得红外光谱数据相似度为评价指标,评价 实验方法重现性。结果6份样品光谱数据相似度均 在0.98以上,表明本实验方法重现性良好。
- 1.3.3.3 稳定性实验 从14份供试品中随机取一 份按"1.3.1"项下制备方法压片,供试品置于干燥器 中,分别在0、1、2、3、4、5h时各测试1次,汇总光谱 图,并以所得红外光谱数据相似度为评价指标,评 价实验方法稳定性。结果6个时段测定的光谱数据 相似度均在0.98以上,反映供试品在6h内稳定性 良好。

### 2 结果

2.1 共有峰确定与伪品原始光谱之间的比较分 析 将14份供试品按照"1.3.1"项下制备方法分别 压片、测定,得到9个产地绵马贯众光谱结果,通过 对该9批红外光谱的分析和比较,确定了16个共有

|      | 表1      | 9个产地绵马贯众(S1~S9)及: | 5种伪品(W1~W5)来源及鉴定信息                     |        |
|------|---------|-------------------|--|--------|
| 样品编号 | 药材名称    | 基源                | 植物拉丁学名                                 | 产地来源   |
| S1   | 绵马贯众    | 鳞毛蕨科粗茎鳞毛蕨         | Dryopteris crassirhizoma Nakai         | 吉林敦化   |
| S2   | 绵马贯众    | 鳞毛蕨科粗茎鳞毛蕨         | Dryopteris crassirhizoma Nakai         | 吉林和龙   |
| S3   | 绵马贯众    | 鳞毛蕨科粗茎鳞毛蕨         | Dryopteris crassirhizoma Nakai         | 吉林蛟河   |
| S4   | 绵马贯众    | 鳞毛蕨科粗茎鳞毛蕨         | Dryopteris crassirhizoma Nakai         | 吉林龙井   |
| S5   | 绵马贯众    | 鳞毛蕨科粗茎鳞毛蕨         | Dryopteris crassirhizoma Nakai         | 黑龙江牡丹江 |
| S6   | 绵马贯众    | 鳞毛蕨科粗茎鳞毛蕨         | Dryopteris crassirhizoma Nakai         | 吉林汪清   |
| S7   | 绵马贯众    | 鳞毛蕨科粗茎鳞毛蕨         | Dryopteris crassirhizoma Nakai         | 黑龙江尚志  |
| S8   | 绵马贯众    | 鳞毛蕨科粗茎鳞毛蕨         | Dryopteris crassirhizoma Nakai         | 吉林通化   |
| S9   | 绵马贯众    | 鳞毛蕨科粗茎鳞毛蕨         | Dryopteris crassirhizoma Nakai         | 吉林延吉   |
| W1   | 峨嵋蕨贯众   | 蹄盖蕨科峨嵋蕨           | Lunathyrium acrostichoides (Sw.) Ching | 安徽亳州   |
| W2   | 鳞毛蕨贯众   | 鳞毛蕨科贯众            | Cyrtomium fortunei J.Sm                | 安徽亳州   |
| W3   | 单芽狗脊蕨贯众 | 乌毛蕨科单芽狗脊蕨         | Woodwardia unigemmate Nakai            | 河北安国   |
| W4   | 狗脊蕨贯众   | 乌毛蕨科狗脊蕨           | Woodwardia japonica (L.f.)Sm.          | 河北安国   |
| W5   | 苏铁蕨贯众   | 乌毛蕨科苏铁蕨           | Brainea insignis (Hook.) J.Sm.         | 广西玉林   |

峰,分别是530、577、610、705、766、859、1018、1154、1201、1257、1284、1372、1444、1627、2925、3357 cm<sup>-1</sup>、数据见表2。

将9批绵马贯众红外光谱进行平均计算后作为 共有模式,再与5种伪品原始光谱进行比较分析,结 果显示5个伪品均存在一个吸收尖峰,而1554~1 494 cm<sup>-1</sup>波段之间,共有模式为一个中等吸收肩峰, 此外1304~1165 cm<sup>-1</sup>波段共有模式吸收强度小于 伪品,其余波段吸收则均强于所有伪品。为进一步 探索各样品吸收峰之间的差别,本实验又进行了二 阶导数分析。

2.2 二阶导数光谱之间的比较分析 绵马贯众共有模式与5种伪品二阶导数图谱比对见图1,分析结果表明共有图谱与5种伪品在3个不同波段上的吸收峰数目和强度均有不同,其中共有图谱在4000~3500 cm<sup>-1</sup>波段为中等吸收,在1748~1604 cm<sup>-1</sup>波段吸收峰数目为4个,5种伪品与此不同。同时,对照原始光谱图形,对1554~1494 cm<sup>-1</sup>波段之间光谱观察,共有模式与5个伪品在此区间均为峰谷。见表3。

| 車 2   | 0个产量炮口贯介(S1                            | SO)及5种供具(W1.W/5       | )红外图谱相似度分析结果  |
|-------|--|-----------------------|---|
| 7.₹ Z | 911 11 111 111 11 11 11 11 11 11 11 11 | ~39//V 1/14/MARKWI~W1 | 161 71 KH I TO THE TO THE ACT OF |

| 峰位  | 波数/cm <sup>-1</sup> |       | 吸光度   |       |       |       |       |       |       |       |       |       |       |       |       |       |
|-----|---------------------|-------|-------|-------|-------|-------|-------|-------|-------|-------|-------|-------|-------|-------|-------|-------|
| 序号  | 1)X 3X/CIII         | S1    | S2    | S3    | S4    | S5    | S6    | S7    | S8    | S9    | GYJZ  | W1    | W2    | W3    | W4    | W5    |
| 1   | 530                 | 0.222 | 0.251 | 0.214 | 0.205 | 0.213 | 0.224 | 0.220 | 0.293 | 0.226 | 0.230 | 0.214 | 0.203 | 0.414 | 0.207 | 0.172 |
| 2   | 577                 | 0.335 | 0.275 | 0.265 | 0.235 | 0.241 | 0.256 | 0.249 | 0.343 | 0.263 | 0.274 | 0.242 | 0.201 | 0.446 | 0.230 | 0.202 |
| 3   | 610                 | 0.213 | 0.272 | 0.257 | 0.224 | 0.252 | 0.265 | 0.259 | 0.340 | 0.257 | 0.260 | 0.242 | 0.199 | 0.423 | 0.204 | 0.192 |
| 4   | 705                 | 0.321 | 0.226 | 0.207 | 0.172 | 0.230 | 0.226 | 0.229 | 0.300 | 0.282 | 0.244 | 0.182 | 0.000 | 0.344 | 0.144 | 0.151 |
| 5   | 766                 | 0.213 | 0.199 | 0.174 | 0.138 | 0.184 | 0.203 | 0.174 | 0.281 | 0.168 | 0.193 | 0.157 | 0.124 | 0.327 | 0.141 | 0.175 |
| 3   | 823                 | 0.000 | 0.000 | 0.000 | 0.000 | 0.000 | 0.000 | 0.000 | 0.000 | 0.000 | 0.000 | 0.102 | 0.000 | 0.000 | 0.000 | 0.000 |
| 6   | 859                 | 0.361 | 0.144 | 0.095 | 0.072 | 0.109 | 0.166 | 0.084 | 0.231 | 0.095 | 0.151 | 0.000 | 0.000 | 0.196 | 0.032 | 0.072 |
|     | 1 018               | 1.000 | 0.809 | 0.932 | 0.813 | 0.767 | 0.709 | 0.726 | 0.926 | 0.795 | 0.831 | 0.000 | 0.000 | 0.973 | 0.855 | 0.000 |
| 7   | 1 054               | 0.000 | 0.000 | 0.000 | 0.000 | 0.000 | 0.000 | 0.000 | 0.000 | 0.000 | 0.000 | 0.780 | 0.632 | 0.000 | 0.000 | 0.762 |
|     | 1 101               | 0.000 | 0.000 | 0.000 | 0.000 | 0.000 | 0.000 | 0.000 | 0.000 | 0.000 | 0.000 | 0.000 | 0.595 | 0.000 | 0.000 | 0.788 |
| 8   | 1 154               | 0.744 | 0.633 | 0.682 | 0.625 | 0.609 | 0.578 | 0.569 | 0.726 | 0.594 | 0.640 | 0.550 | 0.450 | 0.694 | 0.609 | 0.635 |
| 9   | 1 201               | 0.477 | 0.401 | 0.383 | 0.368 | 0.391 | 0.390 | 0.362 | 0.506 | 0.347 | 0.403 | 0.000 | 0.000 | 0.404 | 0.354 | 0.489 |
| 10  | 1 257               | 0.533 | 0.459 | 0.446 | 0.433 | 0.466 | 0.461 | 0.441 | 0.564 | 0.410 | 0.468 | 0.418 | 0.000 | 0.436 | 0.393 | 0.000 |
| 11  | 1 284               | 0.465 | 0.455 | 0.438 | 0.427 | 0.457 | 0.453 | 0.432 | 0.558 | 0.404 | 0.454 | 0.421 | 0.415 | 0.434 | 0.394 | 0.507 |
| 12  | 1 372               | 0.579 | 0.547 | 0.539 | 0.526 | 0.550 | 0.527 | 0.518 | 0.642 | 0.495 | 0.547 | 0.452 | 0.422 | 0.451 | 0.421 | 0.48  |
| 13  | 1 444               | 0.627 | 0.624 | 0.615 | 0.608 | 0.632 | 0.612 | 0.605 | 0.710 | 0.564 | 0.622 | 0.502 | 0.474 | 0.511 | 0.479 | 0.561 |
| 15  | 1 520               | 0.000 | 0.000 | 0.000 | 0.000 | 0.000 | 0.000 | 0.000 | 0.000 | 0.000 | 0.000 | 0.337 | 0.425 | 0.281 | 0.279 | 0.398 |
| 14  | 1 627               | 0.733 | 0.756 | 0.703 | 0.729 | 0.818 | 0.791 | 0.798 | 0.816 | 0.702 | 0.761 | 0.691 | 0.746 | 0.000 | 0.000 | 0.000 |
| 15  | 2 925               | 0.549 | 0.738 | 0.739 | 0.749 | 0.698 | 0.668 | 0.669 | 0.779 | 0.679 | 0.696 | 0.521 | 0.522 | 0.453 | 0.549 | 0.586 |
| 16  | 3 357               | 0.969 | 1.000 | 1.000 | 1.000 | 1.000 | 1.000 | 1.000 | 1.000 | 1.000 | 0.997 | 1.000 | 1.000 | 1.000 | 1.000 | 1.000 |
| 相关系 | 系数                  | 0.968 | 0.999 | 0.995 | 0.996 | 0.997 | 0.995 | 0.995 | 0.994 | 0.996 | 1.000 | 0.492 | 0.369 | 0.728 | 0.801 | 0.168 |
| 夹角组 | <b>於弦</b>           | 0.988 | 1.000 | 0.998 | 0.998 | 0.999 | 0.998 | 0.998 | 0.997 | 0.998 | 1.000 | 0.808 | 0.744 | 0.905 | 0.918 | 0.680 |
|     |                     |       |       |       |       |       |       |       |       |       |       |       |       |       |       |       |

注:GYJZ为S1~S9各共有峰的吸光度均值。

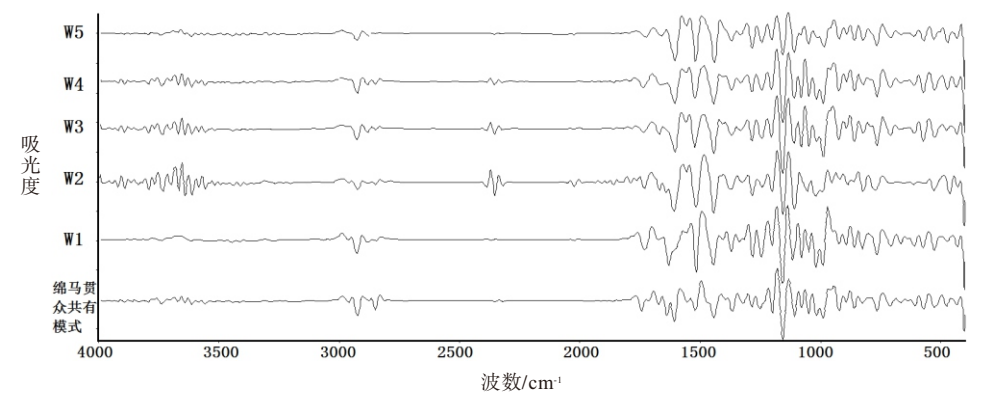


图1 绵马贯众共有模式与5种伪品(W1~W5)红外二阶导数光谱

表3 绵马贯众与5种伪品(W1~W5)的二阶导数图谱特征

| 样品   | $4~000\sim3~500~{\rm cm}^{-1}$ | $1~748{\sim}1~604~{\rm cm}^{\text{-}1}$ | $1\ 110{\sim}990\ \mathrm{cm}^{\text{-}1}$ |
|------|--------------------------------|---|--|
| 任前   | 吸收强度                           | 吸收峰数目                                   | 吸收峰数目                                      |
| W5   | 弱吸收                            | 2                                       | 2  |
| W4   | 强吸收                            | 1                                       | 4  |
| W3   | 强吸收                            | 2                                       | 4  |
| W2   | 强吸收                            | 3                                       | 2  |
| W1   | 弱吸收                            | 2                                       | 4  |
| 绵马贯众 | 中等吸收                           | 4                                       | 4  |

- 2.3 相似度评价 通过 OMNIC 8.2 对所有供试品 红外光谱进行标峰,得到各吸收峰的波数与吸光度 数值,以9个产地绵马贯众供试品红外光谱中共有 峰吸光度的均值为参照,以夹角余弦和相关系数评 价相似度,分别计算不同产地绵马贯众及5种伪品 的相似度。由表2可知,9个产地绵马贯众之间相似 度很高,相关系数均在0.96以上,夹角余弦也在0.98 以上,说明不同产地绵马贯众饮片质量基本稳定, 具有很好的一致性。同时与峨嵋蕨贯众、鳞毛蕨贯 众、单芽狗脊蕨贯众、狗脊蕨贯众和苏铁蕨贯众之 间表现出较低的相似性,其中相关系数较高的是狗 脊蕨贯众(0.801),狗脊蕨贯众(0.728),夹角余弦计 算结果同样反映绵马贯众与狗脊蕨贯众和单芽狗 脊蕨贯众较为接近,分别为0.918和0.905,同时5种 伪品之间相似度也存在差距,以苏铁蕨贯众差别最 大,此结果与正伪品性状鉴定结果一致。
- 2.4 绵马贯众与各伪品之间的聚类分析 根据表2 红外光谱分析结果,以各峰位的吸光度为变量,采用组间连接方法,选取欧氏平方距离作为区间测度,通过SPSS 22.0作为统计分析软件进行分层聚类分析。结果可知在欧氏距离平方和为5时,可以分

成 5 大类,其中 9 个产地绵马贯众归为一类(S1~S9),单芽狗脊蕨贯众与狗脊蕨贯众归为一类(W3,W4),显示二者亲缘关系较近,而苏铁蕨贯众(W5)、鳞毛蕨贯众(W2)和峨嵋蕨贯众(W1)则独立分开,分析结果与相似度分析相一致。见图 2。

2.5 绵马贯众与各伪品之间的PCA PCA 是将多 个变量通过线性变换以洗出较少重量变量的一种 多元统计分析方法,运用PCA方法可以在不降低光 谱差异的前提下,减少数据维数,将每条光谱与其 他光谱进行比较[13-14]。将全部14批样品红外图谱所 有吸收峰吸光度值作为变量(见表2),通过SPSS 22.0 进行 PCA, 结果见图 3。图 3 为 14 批样品的三 维散点图,所提取的3个成分对分析结果的贡献率 分别是75.7%、14.4%和6.3%,累计贡献率达到了 96.4%,包含了原数据中大部分信息,可知分析结果 反映了样品的真实情况。图3表明除了S1和S8产 地为吉林敦化和通化的两个样品点稍有离散,其余 绵马贯众样品点基本重合(S2~S7),但仍然都较好 地归集到了一个区域,而W1~W5全部伪品样品点 则完全离散,其中单芽狗脊蕨贯众(W3)和狗脊蕨贯 众(W4)与绵马贯众距离相对较近,此结果与相似度 分析和聚类分析保持一致。

#### 3 讨论

本实验选取9个产地绵马贯众和5种常见伪品作为研究对象,建立了绵马贯众红外光谱共有模式,利用原始红外光谱和二阶导数光谱进行图形特征识别分析,利用相似度、聚类分析和PCA的化学计量法进行了数据分析。结果表明9个产地绵马贯众红外光谱相似度较高,相似度均在0.960以上,红外光谱吸收曲线亦大致重叠,但部分波段吸光度有



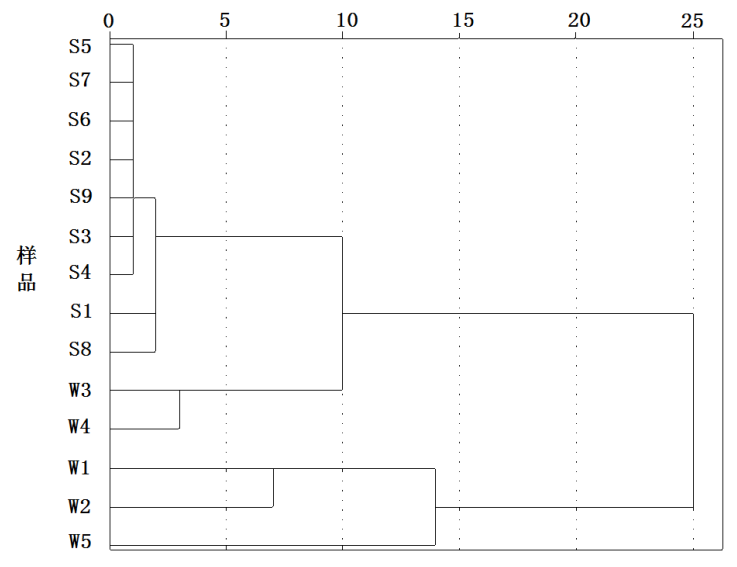
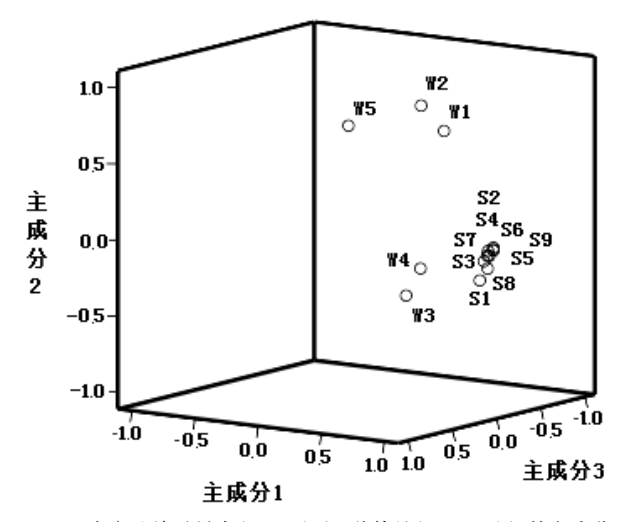


图2 9个产地绵马贯众(S1~S9)及5种伪品(W1~W5)红外光谱聚类分析谱系图



**图3** 9个产地绵马贯众(S1~S9)及5种伪品(W1~W5)红外主成分分析图

高低之分,显示各地样品的成分含量存在差异,此 结果可能与样品生长地理环境之间存在关联。共 有光谱与5个伪品的比较结果显示相似度最高的是 W4狗脊蕨贯众,其夹角余弦达到0.918,相关系数在 0.801,其余依次走低,此趋势与市场实际鉴别差错 率情况相符。共有峰与伪品图谱进一步对比发现 波段之间,5个伪品均存在一个吸收尖峰,而共有模 式为一个中等吸收肩峰。真伪样品的二阶导数光 谱在1554~1494 cm<sup>-1</sup>区域虽然均为峰谷,但是谷形 略有差别,此与原始光谱中的吸收峰和肩峰在二 阶导数中均显示为峰谷特性有关,而二阶导数在 4 000~3 500 cm<sup>-1</sup>、1 748~1 604 cm<sup>-1</sup>和 1 110~990 cm<sup>-1</sup> 三个区域中吸收峰数目明显不同,可资区别。进一 步采用聚类分析方法分析结果表明在平方欧氏距 离为5时,即可将9个产地绵马贯众与5种伪品归为 4类,正品绵马贯众1类,5个伪品归为3类。PCA结 果也再次验证了正品与伪品之间的亲缘远近关系, 其中W3单芽狗脊蕨贯众和W4狗脊蕨贯众与绵马 贯众离散度虽小,但依然能够清晰分开,W1峨眉蕨 贯众、W2鳞毛蕨贯众和W5苏铁蕨贯众离散相对较 大,总体离散特征与正伪品外观形态相似度十分相 符,说明聚类分析和PCA此两个化学模式识别方法 分析绵马贯众正伪品的红外数据特征较为准确。

相对于绵马贯众 UPLC、HPLC 和 PCR<sup>[15-19]</sup>等质量分析手段而言,本红外光谱鉴别实验研究方法取样量小,制样简单,分析速度快,并从整体上反应绵

马贯众的成分信息,采用化学模式识别分析结果准确,可对市场长期存在的绵马贯众易混淆品种问题进行快速甄别,为实际检验和生产质量的前期控制提供有效手段和科学依据。

#### 参考文献

- [1] 国家中医药管理局《中华本草》编委会.中华本草[M].上海:上海科技出版社,1997:2.
- [2] 汪敏, 赵凯, 汪瑞. 中药材贯众原植物的考证[J]. 中国中药杂志, 2012, 37(9):1337-1340.
- [3] 任莹, 吕晓军, 李德林, 等. 一测多评法同时测定保肝丸中4 个指标性成分的含量[J]. 安徽医药, 2020, 24(12): 2355-2359.
- [4] 孙辉,何胜利.基于 HPLC 波长切换法对养胃宁胶囊中 6 种成分的质量控制研究[J].安徽医药,2019,23(3):473-476.
- [5] 刘冰晶,肖海.山药红外指纹图谱相似度分析[J].赣南医学院学报,2018,38(1):16-22.
- [6] 毕晓黎,许灿新,李养学,等.延胡索及其混伪品的红外光谱鉴别[J].时珍国医国药,2016,27(7):1653-1655.
- [7] 王琰,王虹熙,孙丹丹,等.海藻药材及其混伪品的红外光谱分析研究[J].时珍国医国药,2018,29(3):617-620.
- [8] 刘宇,陈文仿,王江瑞,等.红外光谱结合化学计量分析对不同产地玛咖的鉴别[J].中药材,2016,39(12):2733-2737.
- [9] 向丽,张贵君,赵保胜,等.肉桂不同部位及其挥发油的红外光谱宏观表征[J].中国实验方剂学杂志,2017,23(8):57-61.
- [10] 姜大成,何淑华,张洁.红外光谱鉴定中药材的原理与方法 [J].中药材,1993,16(7):42-43.
- [11] 马传江,曹广尚,杨培民,等.绵马贯众的鉴定、化学成分及 药理作用研究进展[J].中国药房,2016,27(28);4013-4015.
- [12] 翁诗甫,徐怡庄.傅里叶变换红外光谱分析[M].北京:化学工业出版社,2016;223-228.
- [13] 孔浩,郭庆梅,王慧慧,等.主成分分析法在中药质量评价中的应用[J].辽宁中医杂志,2014,41(5):890-892.
- [14] 石岩, 魏锋, 马双成. 关于主成分分析在中药和天然药物分析研究应用的探讨[J]. 中国中药杂志. 2018. 43(14): 3031-3035.
- [15] 刘畅, 闫艳韬, 王娟, 等. UPLC 法测定绵马贯众抗流感病毒有效部位中3种成分的含量[J]. 中药材, 2018, 41(10): 2389-2391.
- [16] 蔡振娇,吴亚男,许亮,等. 基于psbA-tmH序列DNA条形码技术的绵马贯众鉴定研究[J]. 中国中药杂志, 2016, 41(22): 4183-4187.
- [17] 王甫成,孟祥松,蒋磊,等.HPLC指纹图谱法鉴别半夏及其伪品[J].辽宁中医药大学学报,2016,18(4):56-58.
- [18] 庞文静,郑玉莹,彭维,等.正品枳壳指纹图谱的构建及其与混伪品的聚类分析[J].中南药学,2017,15(10):1345-1350.
- [19] 杨冉冉,姬蕾,李二文,等.鸡血藤的HPLC指纹图谱及模式识别研究[J].中草药,2017,48(21):4530-4536.

(收稿日期:2020-11-16,修回日期:2021-03-04)